

Définition

But

Le but de cette manipulation est d'analyser l'influence d'une charge placée sur une balance et sur le pont de Wheatstone via des capteurs de déformations. La Jauge de déformation a donc pour but de traduire la déformation d'une pièce en variation de résistance électrique. Les différentes grandeurs d'influences devra ainsi être analysées comme l'excentration de la charge sur la mesure et de manière théorique, l'influence de la température sur le système.

Hypothèse

- Influence de la température sur la mesure du fait de la résistivité du fil
- les matériaux sont homogènes et isotropes - la résistivité reste constante
- cylindricité parfaite du diabololo - le volume reste constante
- On supposera le montage réalisé idéal - pas d'influence de la température sur la prise de mesure
- On supposera le matériel de mesure fiable
- On supposera les masses bien étalonnées

Schema fonctionnel

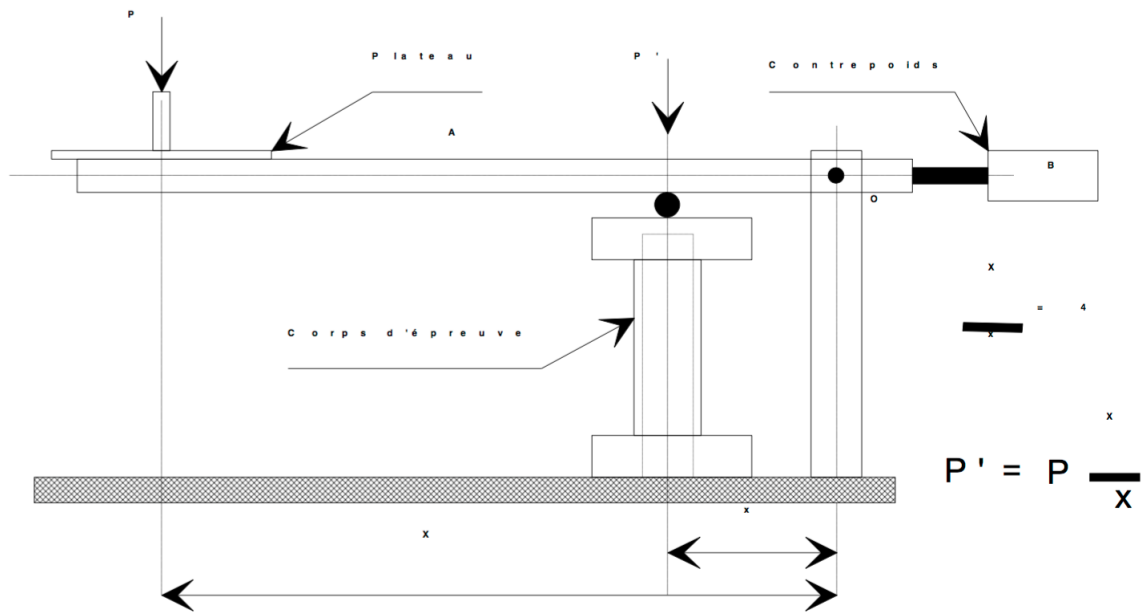


Lorsqu'on applique un effort F au capteur, un champ de contrainte apparaît et donc des déformations apparaissent. Le corps d'épreuve est en effet soumis à allongement suivant l'axe radial du fait par compression (Loi de Hooke) d'une autre part nous avons un allongement suivant l'axe latéral qui va rétrécir le diamètre de la pièce (Coefficient de Poisson). Grâce à la loi de Pouillet, nous pourrions connaître la variation de la résistance dans le fil. Nous pouvons négliger la résistivité ainsi que le volume. On introduit alors K qui est le facteur de jauge qui caractérise la variation de résistance en fonction de sa déformation axiale. Nous avons ici de très petites variations de résistance. C'est pourquoi, la mesure ne peut s'effectuer directement avec un ohmètre. L'utilisation d'un pont de Wheatstone va permettre de mesurer de telles variations. Soit, un circuit constitué de 4 résistances montées en pont dans lequel on l'a alimenté sous une tension de 5V. A l'équilibre la tension de sortie est nulle mais la variation d'une quelconque des résistances va faire apparaître une différence de potentiel. La tension de sortie est donc proportionnelle aux variations relatives $\Delta R/R$ de chacune des résistances.

Liste du matériel

- poids
- corps d'épreuve
- huit jauges de déformations (type FCA-5-23)
- un corps d'épreuve (diabololo en aluminium)
- cinq charges expérimentales de masse connue
- un générateur de courant continu (5V)
- Matériel d'acquisition (Ordinateur avec logiciel dédié) une Balance à levier

Procédure



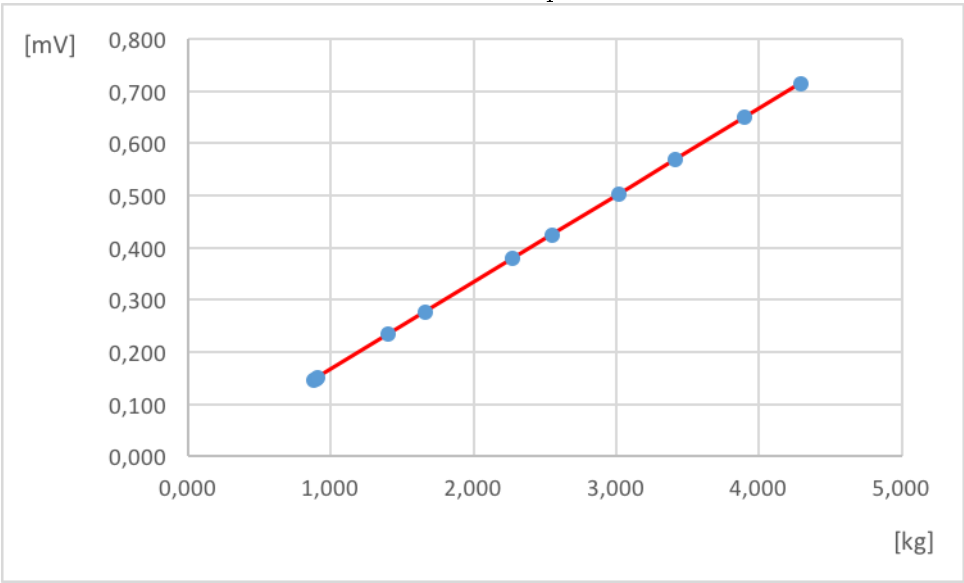
1. Tarrer du système pour la prise de mesure de la contrainte appliquée.
2. Réquilibrer le pont de Wheatsone (Calibrage du 0V)
3. Center le corps d'épreuve sous la bille qui permet d'appliquer la charge.
4. Deposer la charge sur le plateau.
5. Relever la différence de potentiel et la valeur de la masse affichée à l'écran
6. Repeter les opération 2 à 5 en augmentant la valeur de la charge par pas de 500g en veillant à ne pas déposer une charge supérieur à 5kg
7. Repeter la procédure pour des centrage de l'application de la contrainte différente

Il est important de rester délicat avec la matériel lors du changement de masse ou du changement de centrage d'application de la force, Sous peine de fausser les mesures suivantes. S'aider du sabot pour enlever la contrainte sur le diabolos lors du changement de masse.

Mesures & observations

Graphique

Tension en fonction de la masse lorsque la contrainte est centrée



Ecart relatif de la masse par rapport à la valeur de la masse lorsque la contrainte est centrée

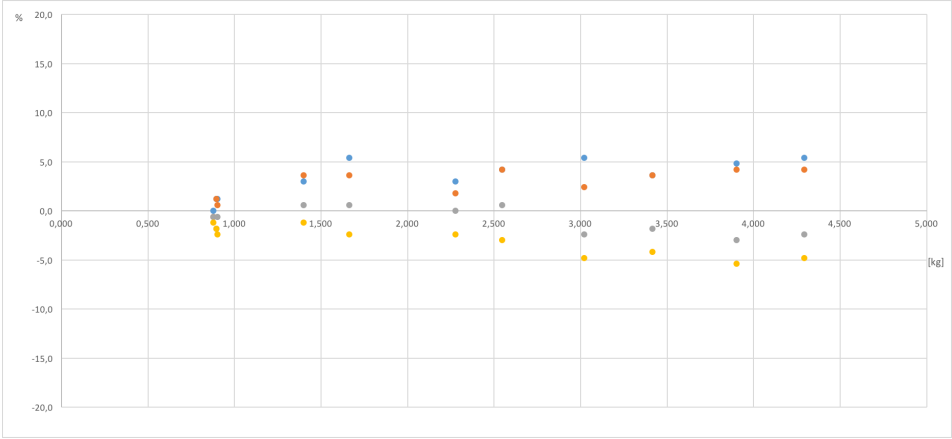


Tableau de valeurs

Masse observée en fonction de la masse appliquée et de la position de la contrainte

| N | N | Masse G2 | Masse G1 | Masse C | Masse D1 | Masse G2 |
|-------|---------|----------|----------|---------|----------|----------|
| [kg] | | [kg] | [kg] | [kg] | [kg] | [kg] |
| 0,584 | 4 | 0,500 | 0,494 | 0,512 | 0,506 | 0,512 |
| 1,050 | 6 | 0,878 | 0,884 | 0,878 | 0,884 | 0,890 |
| 1,056 | 5 | 0,884 | 0,884 | 0,896 | 0,914 | 0,914 |
| 1,063 | 7 | 0,890 | 0,896 | 0,902 | 0,908 | 0,926 |
| 1,640 | 4+5 | 1,370 | 1,364 | 1,400 | 1,394 | 1,412 |
| 1,964 | 9 | 1,610 | 1,628 | 1,664 | 1,658 | 1,688 |
| 2,690 | 4+5+6 | 2,246 | 2,258 | 2,276 | 2,276 | 2,300 |
| 3,020 | 5+9 | 2,504 | 2,504 | 2,546 | 2,540 | 2,576 |
| 3,604 | 5+9+4 | 2,966 | 2,996 | 3,020 | 3,044 | 3,068 |
| 4,077 | 6+7+9 | 3,380 | 3,380 | 3,416 | 3,434 | 3,458 |
| 4,661 | 6+7+9+4 | 3,854 | 3,860 | 3,902 | 3,932 | 3,956 |
| 5,133 | 6+7+9+5 | 4,238 | 4,250 | 4,292 | 4,316 | 4,340 |

Différence de potentielle en fonction de la masse appliquée et de la position de la contrainte

| N | N | Tension G2 | Tension G1 | Tension C | Tension D1 | Tension D2 |
|-------|---------|------------|------------|-----------|------------|------------|
| [kg] | | [mV] | [mV] | [mV] | [mV] | [mV] |
| 0,584 | 4 | 0,083 | 0,082 | 0,085 | 0,084 | 0,085 |
| 1,050 | 6 | 0,146 | 0,147 | 0,146 | 0,147 | 0,148 |
| 1,056 | 5 | 0,147 | 0,147 | 0,149 | 0,152 | 0,151 |
| 1,063 | 7 | 0,148 | 0,149 | 0,150 | 0,151 | 0,154 |
| 1,640 | 4+5 | 0,228 | 0,227 | 0,233 | 0,232 | 0,235 |
| 1,964 | 9 | 0,268 | 0,271 | 0,277 | 0,276 | 0,281 |
| 2,690 | 4+5+6 | 0,374 | 0,376 | 0,379 | 0,379 | 0,383 |
| 3,020 | 5+9 | 0,416 | 0,417 | 0,424 | 0,423 | 0,429 |
| 3,604 | 5+9+4 | 0,494 | 0,499 | 0,502 | 0,507 | 0,511 |
| 4,077 | 6+7+9 | 0,563 | 0,563 | 0,569 | 0,572 | 0,576 |
| 4,661 | 6+7+9+4 | 0,642 | 0,643 | 0,650 | 0,654 | 0,659 |
| 5,133 | 6+7+9+5 | 0,706 | 0,708 | 0,715 | 0,718 | 0,723 |

Observation : Nous avons constaté qu' au cours de l'expérimentation (après 45min) la valeur du zéro avait légèrement changée (+ 0,001 mV pour la mesure de la tension).

Interpretation

Conclusion

Annexe